

# Lietuvos kvartero nuogulø genetiniai tipai ir potipiai: granuliometrinës sudëties ypatumai

Zigmas Malinauskas

Malinauskas Z. Genetic types and subtypes of Quaternary deposits in Lithuania: characteristics of granulometric content. *Geologija*. Vilnius. 2004. No. 45. P. 27–40. ISSN 1392-110X.

Statistical parameters of the granulometric composition of 744 samples of quaternary deposits from four geological-geographical regions of Lithuania (marginal and island uplands, planes above carbonates and planes above thick Quaternary) were statistically explored using correlation, factorial, cluster, and disperse analysis.

The indices of granulometric content were identified. The factors that influence grain distribution, and the characteristics of genetic subtypes and types according to certain variables and to the whole complex of variables were also established.

It was found that the main factor influencing the characteristics of Quaternary deposits is grains size. Other important factors include sorting-out and border magnitudes of the distribution fractions.

The disperse analysis of separate variables showed that according to the value of  $H_r$  0.75 it is possible to separate glacial (gl), intraglacial (os, cmm, gt, cmlg), proglacial (fd, sd, ftr) deposits, and deposits of the secondary formation (alluvian, marine deposits, eolic). From these, according to the asymmetry (A) it is possible to identify marine deposits and eolian marine deposits according to (E)-fd excess.

The obtained statistical tables of all 16 subtypes of Quaternary deposits and their 95% reliability intervals (Tables 4–12) are recommended as a standard for determining the origin of buried deposits of unknown genesis.

**Key words:** granulometric investigations, genetic types, content, geological-geomorphological areas, Quaternary deposits, Lithuania

Received 20 October 2003, accepted 5 December 2003.

Zigmas Malinauskas. Departament of Quaternary Geology, Institute of Geology and Geography, T. Devèenkos 13, LT-2600 Vilnius, Lithuania

## ÁVADAS

Dël kvartero sistemos nuogulø litologinës sudëties ir specifiðkumo sudëtinga nustatyti jø amþio ir formavimosi sàlygas, arba genezæ. Ávairios genezës nuosëdø tiek granuliometrinë, tiek mineralinë sudëtis formavosi tirpstant ledynams, susidarant morenai. Vëliau didelë dalis nuosëdø ilgà laikà buvo hidrodinamiðkai performuojamos: pirmiausia paðalinamos molio ir aleurito dalelës, kuriø vietoje lieka stambianuolauþinës nuosëdø frakcijos, paskui smëlio ir aleurito dalelës transportuojamos á ávairià aplinkà. Die nuosëdø performavimo procesai atispindi granuliometrinëje sudëtyje bei jos statistinëse charakteristikose. Taigi pleistocene nuogulø sudëtis ir savybës slepia turtingà jø atsiklojimo paleogeografinë ir amþiaus informacijà. Ta-ëiau jos atkûrimas, daugiausia besiremiantis pavirðniø nuosëdø tyrimais, tampa problema, kai bandoma

tuos tyrimus pritaikyti giliau slùgsanëiai kvartero storymei. Taip atsitinka dël to, kad dël græphimo technologijos keliant kernà netenkama dalies litologinës informacijos (tekstûrø, stambianuolauþiniø frakcijø ir kt.), o tiriant pavirðines nuogulæ kaip tik daug dëmesio skiriama tiems komponentams. Be to, tiriant pavirðines nuosëdas Lietuvoje bûta ir metodologiniø trûkumø: ilgà laikà nuosëdø daleliø tyrimui buvo naujojami 6 ar 12 sietø komplektai, kurie apsunkina patikimø statistiniø parametrø gavimà.

Nuosëdø genetinës priklausomybës atkûrimas yra bûtinæs ir aktualus nustatant visos kvartero storymës formavimosi dësningumus bei aktualus geonuotraukø, statybiniø medpiagø, vandens paieðkø darbams, ávairioms prognozëms ir kitiams taikomosios geologijos tikslams.

Tyrimø tikslas – nustatyti ir ávertinti kvartero nuogulø granuliometrinius dësningumus remiantis gra-

nuliometriniais statistiniais parametrais, pasiûlyti genetinės kilmės nustatymo metodiką, padedanėti identifikuoti palaidotę nuogulę ledynmečio ir tarpledymečio salygas.

Genetinių potipio etaloninių granuliometrinio statistinių parametrų skaitinės reikšmės buvo nagrinėjamos matematinių statistikos metodais: koreliacijos, klasterine faktorine ir dispersine analizėmis. Tai leido nustatyti statistinių parametrų asociacijas, sudaryti 95% jų patikimumo intervalų diagramas, nustatyti genetinių potipio vienarūdžių grupes, nuosėdą savybes nulemiausius veiksnius ir kt.

## NUOGULŲ GENEZË

Þemyninių kvartero sistemos nuogulų genetinė priklausomybė daþnaiusiai Lietuvoje yra nustatoma remiantis teoriniai E. V. Ðancerio

(Шанцер, 1966) darbais apie genetinius tipus. Pagal nuosėdų perneðimo pobûdá ir jo etapus jis nuosėdas skirsto į kilmės kompleksus. Nuosėdų kompleksø dalys priklausomai nuo jų morfogenetinės specifikos ir dinaminių akumuliacijos formø priskiriamos atskiroms grupëms ir pogrupiams, ið kuriø iðskiriama genetiniai tipai. Kiekvienam genetiniams tipui bûdinga sava slûgsojimo forma, ryðys su reljefo elementais, vertikali ir horizontali facijinë litologinë kaita. Ðisiais principais nuosėdas klasifikavo A. Gai-galas (Гайгалас и др., 1974; Гайгалас, Ярцев, 1992), A. Jurgaitis ir G. Juozapavièius (Юргайтис, 1984; Jurgaitis, Juozapavièius, 1989) ir kiti. Nors genetinių tipø ávairovę yra didelë (1 lentelë), daugiausia nuosėdø yra ledyninės kilmės – tai paties ledyno ir jo tirpsmo vandenø nuosėdos. Pastarosioms A. Jurgaitis, G. Juozapavièius ir kt. (Юргайтис, 1984; Juozapavièius ir kt., 1991) yra sudaræ detalesnes genetines klasifikacijas (2 lentelë). Taèiau marginalinio genetinio tipo iðskyrimas ið vidinio ledo pagal panaðià nuogulę vidinæ sandarà yra abejotinas. Litologið-kai tiriant nuogulas daþnaiusiai ieð-koma skirtumø tarp tipø ir potipio, taèiau jie dar maþai tiriami ploto atþvilgiu. Todël tikras genetinių parametrø ávertinimas tebéra problematinis.

Kiti uþsienio tyrinëtojai nuogulø klasifikacijos pagrindu ima terigeninës sedimentacijos aplinkà – iðskiriamos ledynø, upiø, eþerø, jûros, lygumø aplinkos. Tarp ledyniniø ir prieledyniniø nuosėdø yra ozø, keimø, deltø, zandrø, ledyniniø eþerø ar tekanèiø vandenø nuosédos (Рейнек, Сингх, 1981; Рединг, 1990). Sedimentologai aplinkà nustato facijø pagrindu. Jie þemyniniø facijø grupëje iðskiria ledyninæ ir prieledyninæ aplinkas ir kaip subaplinkos vienetus nurodo eþerø, ozø ir kt. facijas (Walker, 1984, Leeder, 1985) arba kraðtutiniu atveju atsisako áprastø kvartero geologijoje geomorfologiniø vienetø ir subaplinkas daþnai skirsto į facijas (Brodzikowski, Van Loon, 1991). Pastaruoju metu P. Ðinkûnas ir A. Jurgaitis (1998, 1998) irgi pradëjo taikyti ðiai ið paþiûros „modernià“, bet diskutuotinà nuosédø klasifikacijà Lietuvos sàlygomis (tik supainiojo sàvokas facijà

1 lentelë. **Kvartero nuosédø genetinë klasifikacija**  
Table 1. **Genetic classification of Quaternary deposits**

Kilmë	Grupë	Pogrups	Genetinis tipas
Ledyninë	Paties ledyno		Moreninis: abliacinis kraštinis dugninis
	Ledyno tirpsmo vandenø	Ledyninis upiø	Vidinio ledo Prieledyninis
		Ledyninis eþerø	Ledyninis eþerø
Vandens	Vaginiø srautø		Aliuvis Proliuvis
	Eþerø		Eþerinis
Vëjo	Perpustytø nuosédø		Eoliniai smëliai Liosai
Jûrinë			Terasinis Krantinis ir lagûninis Povandeniniø volø
Ðlaitinë (koliuvinë)	Gravitacinë	Kritimo koliuvis	Kritimo sankaupø Nubyréjimai
		Šliaupimo koliuvis	Ðliaupimo sankaupø (akumuliacija) Solifliukcinis
	Deliuvinë		Deliuvis
Eliuinë (dûléjimo) pluta	Dirvoþemio		Dirvoþemio
	Dûléjimo plutos		Dûléjimo plutos
Poþeminio vandens	Ozo		Nuotékio ir terigeninis
	Ðaltiniø		Klintiniai tufai ir travertinai
Mišri			Eliuinis-deliuinis
			Deliuinis-solifliukcinis

**2 lentelė. Pvyro, smëlio ir molio telkiniø genetinë klasifikacija (Juozapavièius ir kt., 1991)**  
**Table 2. Genetic classification of gravel, sand and clay (pagal Juozapavièius et al., 1991)**

Grupë	Pogrups	Tipas	Potipis
Dûlëjimo þievës (e)		Eliuvis (e)	Termofrakcinis (et) Kriogeninis (ek) Chemogeninis (ech)
Deliuvinë (d)		Deliuvis (d)	
Fliuvialinë (f)		Aliuvis (a)	Vaginis (ar) Salpinis (ap) Deltos (ad)
Limninë (l)		Eþerinis (l)	Priekrantës (lp)
Ledyninë (g)		Pagrindinës morenos (g)	Lokalios morenos (gl)
Akvaglacialinë (ag)	Fluvioglacialinis (fg)	Vidinio ledo (fgv)	Keimo (cm) Ozo (az)
		Marginalinis (fgm)	Kraðtinio gûbrio (fgt)
		Prieledyninis (fgp)	Zandro (sd) Deltos (fd) Terasos (ftr)
	Limnoglacialinis (lg)	Vidinio ledo (lgv)	Keimo (cm)
		Marginalinis (lgm)	Kraðtinio gûbrio (lgf)
		Prieledyninis (lgp)	Periferinës baseino dalies (lgpp) Dugninis (lgd)
Eolinë (v)	Perfliaciniš (vp)	Eolinio smëlio (vp)	
	Superfliaciniš (vl)	Lioso (vl)	
Jûrinë (m)		Jûrinis (m) Sëkliaus (mm) Gélavandenis (mg)	Priekrantës (mp)

**3. lentelë. Kvartero nuosëdø genezë ir aplinka**  
**Table 3. Genesis and surrounding of Quaternary deposits**

Aplinka	Perneðimo	Srautas			
		Ledas	Vanduo		Oras
Sedimentacijos	Ledytinë	Ledyo tirpsmo vandenø		Tarpledyninë	Prieledyninë
		Vidinio ledo	Prieledyninë	Tarpledynmeèio	Tarpledymneèio
Nuosëdos	Morena (gl)	Ozø (oz)	Fliuvioglacialiniø deltø (fd)	Upinës (al)	Eolinës (v)
		Kraðtinio gûbriø (gt)	Fliuvioglacialiniø terasø (ftr)	Jûrinës (m)	
		Keimø: miðriø (cmm), limnoglacialiniø (lgl)	Zandrø (sd)	Eþerinës (l)	
			Prieledyniniø eþerø (lg)		

jas skirstydamis į litofacijas). Facijos ir litofacijos tyrimo metodikos naudojimas sedimentacijos produktais tirti yra teigiamas reiðkinys, bet jø grupavimas pagal nuosëdø perneðimà ir nuosëdø kilmæ (morenos, deltø ir t. t.), ignoruojant geomorfologinæ sedimentacijos aplinkà, apsunkina klasifikacijos pritaikymà aplinkos paleogeografinios vystymosi rekonstrukcijai. Pagaliau nuosëdø tyrimo sëkmë yra ne naujokas klasifikacijos sàvokø ar vienetø ieðkojimas, o paëio nuosëdø tyrimas.

Kvartero nuogulø medþiaginë diferenciacija priklauso nuo medþiagos sedimentacijos tam tikrose zonoose. Medþiaga buvo perklostoma ledyno, ledyno tirpsmo vandens, vandens ir vëjø srautø. Nuo aplinkos specifiðkumo ir srauto intensyvumo priklauso trupininës medþiagos diferenciacija, kuri didëja nuo moreniniø link fluvioglacialiniø ir antrà kartà performuotø nuogulø (3 lentelë).

## **KVARTERO NUOGULØ GRANULIOMETRINIAI TYRIMO METODAI IR DUOMENØ PALEOGEOGRAFINË REIKÐMË**

### **Granuliometriniai tyrimo metodai**

Uolienu struktûra, arba granuliometrinë sudëtis, yra labai svarbi uolienos charakteristika. Granuliometrijos duomenys padeda klasifikuoti uoliemas, iðskirti frakcijas sudëties tyrimams, nustatyti atskiras frakcijas kaip naudingàja iðkasenà, suskirstyti storymà ir atlikti koreliacijà bei nustatyti buvusias aplinkas.

Sietø analizë yra vienas ið seniausio ir efektyviausio granuliometrinës sudëties nustatymo metodø. Egzistuoja ávairùs sietø standartai su skirtingu skaièiumi sietø, kurie suskirsto 2,5–0,04 mm daleles į granuliometrines klases. Standartà apibrëþia dviejø kaimyniniø sietø akuèio dydþio santykis, vadinas geometrinës progresijos rodikliu (GPR). Sietø komplektus sudaro 36 (GPR – 1,1), 19 (GPR – 1,2), 12 (GPR – 1,2–1,6), 6 sietai (GPR – 2,2; 2,5; 1,0).

Lietuvoje iki 1975 m. buvo naudojamos ðeðio (Geologijos valdybos organizacijose) ir dvylikos frakcijø (Geologijos institute) analizës. Ðiuose abiejuose komplektuose nebuvò iðlaikyti tolygios geometrinës progresijos sàlygos. Detalesniems nuosëdø struktûros tyrimams reikëjo sietø standartø su didesniu granuliometrinio klasio skaièiumi. Todël straipsnio autorius, 1975 m. nuvykës į Kabardino-Balkarijos deimantiniø instrumentø gamyklà Tereke, suorganizavo 19 sietø komplekto tiekimà ir ádiegimà Geologijos institute. Ðis standartas, vykdant litologinius tyrimus, yra optimaliausias (Батурин, 1947; Рухин, 1969; Малинаускас, 1981; Методы..., 1984; Романовский, 1977, 1988).

Pirminiai granuliometrijos ir morfometrijos analizø duomenys, iðreikðti masës ir tûrio vienetais, yra

neiðraiðkûs ir sunkiai palyginami, todël juos daþniausiai tenka papildomai apdoroti grafiðkai arba statistiðkai. Pastaruoju metu vis daugiau tyrëjø siûlo statistikos parametrus skaièiuoti tik analitiðkai.

Analitinio rezultato apdorojimas yra pagrûstas empiriniø pasiskirstymo kreiviø statistikos parametru apskaièiavimu naudojant momentø metodà. Ðis skaièiavimo bûdas neturi alternatyvos. Ðiuo metu Lietuvoje taikoma G. Røpkovo ir F. Kulikovo (Рожков, Куликов, 1975) statistikos parametru apskaièiavimo metodika ir programa, R. Zinkutës adaptuota asmeniniams kompiuteriams ir pavadinuta „Sietan“. Programos ádiegimu institute autorius rûpinosi 1976–1980 metais. Ji ávertina pasiskirstymo dësningumus, empirinio pasiskirstymo kreivës modaliðkumà, apskaièiuoja statistikos parametrus pagal svorá ir grûdeliø skaièiø, taip pat visus pasaulyje þinomus statistikos rodiklius bei kitus duomenis.

### **Granuliometrinio duomenø paleogeografinë reikðmë**

Granuliometrinio duomenø interpretacija laikoma labai svarbiu nuosëdiniø uolienu tyrimo etapu. Ið jo charakteristikos stengiamasi atkurti sedimentacijos aplinkà (paleogeografinjà) ar sàlygas (paleosedimentacijà), o gauti parametrai laikomi etaloniniai nutstant neþinomos genezës nuosëdas.

Iðskiriamos kelios granuliometrinio tyrimø kryptys (Malinauskas, 1994). Pirmos krypties atstovai pagal statistikos parametrus ar kitus kintamuosius sudarinëja ávairias genetines diagramas. Tokie darbai apima apie 80% struktûriniø tyrimø (Петтиджон и dr., 1976). Ði kryptis turi senas tradicijas. Pinomi garsùs R. Falco (1968), L. Ruchino (Рухин, 1969), D. Viðerio (1969) ir kitø darbai, kuriuose buvo ieðkoma labiausiai informatyviø granuliometrinio rodikliø. Kita tyrëjø grupë nuosëdø grypes iðskiria nauododama trikampiø diagramas, histogramas, kumulatyvinës kreives ir pan. Treèia tyrëjø grupë kartografuoja ávairius paleobaseinø granuliometrinius parametrus ir bando susieti statistikos parametrus su paleosedimentacinëmis aplinkos savybëmis ar jas atkurti (Malinauskas, 1979).

Tarp Lietuvos tyrëjø pirmà genetinæ diagramà smëlio-þyro nuoguloms pasiûlë A. Jurgaitis (Юргайтис, 1969). Ji nepritaikyta giluminëms nuoguloms, nes  $M_a > 1,0$  mm. Ribos iðvestos prisilaikant L. Ruchino genetinës diagramos ribø, nors faktinë medþiaga tokiø ribø nerodo.

1980 m. genetinæ diagramà  $H_1-X$ , pritaikytà ir giluminëms Lietuvos kvartero nuoguloms, pasiûlë Z. Malinauskas, iðskyras ledyniniø, vidinio ledo ir prieledyniniø nuogulø laukus.

1984 m. A. Jurgaitis pateikë naujà genetinæ diagramà Pabaltijo ir Ðiaurës Baltarusijos þyviringoms

nuosëdoms. Deja, ji taip pat netinka giluminëms nuoguloms, nes  $M_a > 1,0$  mm. Riba tarp vidinio ledo ir prieledyniniø nuosëdø pravesta pagal δ reikðmæ, lygià 0,75. Taëiau faktinë medþiaga rodo, kad kai kurie potipiai lokalizuojasi abiejuose laukuose, – taip daþnai atsitinka, kai tiriamas per platus nevienalytis rajonas.

Toká persidengimà tiksliai pastebëjo G. Juozapavièius ir kiti (Юозапавичюс и др., 1989), kaip prieþastá nurodydami skirtingus iðrûðiavimo lygius ávairiuose geologiniuose-geografiniuose rajonuose, besiskirianèiuose karbonatinio paleozojinio uolienø kiekii. Taëiau jei pripaþtamas prekvartero uolienø poveikis granuliometriniams parametram, tai rajonavimas turi bûti atliekamas ne pagal morfologinius poþymius, o pagal ledyniniø tékmiø kelià. Tä patvirtina G. Juozapavièiaus darbai apie pavirðinio smëlio nuogulø terigeniná-mineraloginá rajonavimà, kai iðskirti trys rajonai su-tampa su ledyniniø tékmiø paplitimu.

Nepaisant ðio pastebëto prieðtaringo rajonavimo, pats rajonavimo principas yra naujas ir reikia já toliau tikslinti. Beje, tada ir genetines diagramas reikëtø sudarinëti daug maþesniems rajonams.

Kartu minëtame darbe autorai pateikë ir naujà genetiniø tipø atskyrimo diagramà, nevadindami jos genetine, nors ið esmës ji tokia yra. Pagal diagramoje naudojamà vienà iðrûðiavimo parametrà (δ) autorai ið þyrringø nuogulø iðskiria: I – deltø, II – tekanèiø srovio (zandrai, fluiuoglacialinië terasos, ozai) bei III – keimø ir kraðtiniø fluiuoglacialiniø gûbriø laukus. Pagal ðià diagramà tik ozo nuosëdos pakliûva á bendrà laukà (su III). Kadangi ozai nëra labai paplitæ gamtoje, tai I ir II laukai rodo prieledynines nuogulas. Keimø ir marginaliniø gûbriø buvimas kartu rodo, koks abejotinas A. Jurgaièio naujo marginalinio genetinio tipo iðskyrimas, nes to nepatvirtina esminiai nuosëdø poþymiai – jø litologinës savybës. Ði diagrama negali bûti taikoma palaidotoms nuoguloms, kadangi sudaryta pagal stambianuolaupiniø frakcijø duomenis ( $M_a > 1$  mm).

Kitoje fluiuoglacialinio smëlio  $H_r$  reikðmiø dispersijø diagramoje autorai teiðskiria du laukus: fluiuoglacialiniø deltø ir terasø bei visø likusiø nuogulø (glt, sd, os, cmm). Autorai tai pat neigia esant bet kokià  $H_r$  parametro reikðmæ, pagal kurià bûtø galima atskirti prieledynines ir vidinio ledo nuosëdas, nors ðioje diagramoje nëra ledyno, aliuvinio, jûriniø, eoliniø nuosëdø. Todël tyrimas yra tik preliminarus, nes netirti kiti statistikos parametrai. Ið pateikto straipsnio neaiðku, kokiu faktinës medþiagos kiekii pagrasta diorama.

1994 m. P. Ðinkûnas pateikë originalias trikampes diagramas, jas pavadindamas genetinëmis. Jø virðunëse atidëta tam tikro mineralø grupiø sudëties, o genetinës ribos pravedamos vëliau atsiþvelgiant á pavyzðpiø granuliometrinio iðrûðiavimo  $H_r$  reikðmes; eia

keimø ir fluiuoglacialinëms nuoguloms suteikiamaos  $H_r$  reikðmës  $> 0,8$ , vaginiø srautø – 0,75–0,8, prieledyniniø eþerø ir fluiuoglacialiniø deltø –  $< 0,75$  ir tarpledynmeeiø – maþiausios  $H_r$  reikðmës. Ðiuo atveju mineraloginë analizë netenka prasmës, nes ribos iðskiriamos pagal granuliometrinius duomenis. Paëiø mineralø sudëties virðunëse pakinta, pakitus duomenø masyvui, dël to ribos nëra pastovios, nors skirtingø duomenø masyvai bûtø ið to paties geologinio-geografinio rajono. Taigi diagramos ne genetinës, o atspindi koreliacinius ryðius tarp mineralø ir ið anksto fiksuoþ  $H_r$  reikðmio. Nuosëdø etaloniniø grupiø iðskyrimas pagal nurodytas  $H_r$  reikðmes yra nepagrâstas, nes tokiø duomenø nëra. Matyt, ðiuo atveju minëtam parametru suteiktos tokios pat δ reikðmës kaip G. Juozapavièiaus ir kt. darbe (1989). Beje, ten δ parametras apskaièiuotas stambiagrûdëms ( $Ma > 1$  mm), bet ne smëlinëms nuoguloms.

Klajojanèiø ribø diagramø sudarymo metodika yra diskutuotina, nes pagal koreliaciniës analizës duomenis iðskiriamos mineralø grupës tik su teigiamais ryðiais. Vëliau ið faktorinës analizës duomenø panauðojami mineralø su teigiamomis apkrovomis duomenys. Kai tas pats mineralas yra keliuose veiksniuose, imamas tik vienas atvejis. Taigi statistikos metodø, naudojamø panadiø asociaciøj vidiniams ryðiams terti, matematinis taikymas yra labai problemiðkas. Be to, trikampio forma verëia duomenis perskaïeuoti á 100% sistemà, kurioje daþnai atsiranda „melagingi“ koreliacinių ryðiai.

Tai, kad ávairiampiø ir skirtingos genezës nuogulø duomenys skaièiuojant neiðskiriами, sukelia keiliaujanèiø ribø efektà, nes kitame duomenø masyve, pakitus genetiniø atmainø proporcijoms, pakinta ir ribø padëties. Todël tokiø diagramø sudarymas pagal pateiktà metodikà verëia abejoti jø geologine prasme.

## KVARTERO NUOGULØ GENETINIØ POTIPIO IR JØ GRUPIØ GRANULIOMETRINËS SAVYBËS

Norint iðaiðkinti kvartero nuogulø granuliometrinës sudëties dësningumus, bûdingus genetinius rodiklius, ávertinti atskirø statistiniø parametru indëlå nustantan nuogulø genezæ, kompleksiðkai iðnagrinëta visø kvartero nuogulø 16 genetiniø potipiø: vidinio ledo (ozø, miðriø ir limnoglacialiniø keimø, kraðtiniø gûbriø), prieledyninio (fluiuoglacialiniø deltø, fluiuoglacialiniø terasø, zandrø, limnoglacialo) ir antrinio performavimo (aliuvio, eoliniu bûdu susiformavusiø ið aliuvio, fluiuoglacialo, limnoglacialo) smëlio nuogulø ið keturiø Lietuvos geologiniø-geografiniø rajonø (marginaliniø ir saliniø aukðtumø, lygumø, esanèiø virð karbonatø, ir lygumø, esanèiø virð storo kvartero) 632 eksperimentiniø pavyzdþiø granuliometrinës sudëties statistikos parametrai (1 pav.). Be to, pa-



1 pav. Tyrimo vietas

Fig. 1. Investigation sites (distribution of the explored granulometric samples in Lithuania)

naudoti 36 tarpledynmečio aliuvio pavyzdžių ir 76 ávairių moreninių horizontų pavyzdžių duomenys. Buvo ištirti nuogulų granuliometrinio pasiskirstymo 2,5–0,04 mm intervale statistiniai rodikliai. Visi granuliometrinės sudėties statistiniai rodikliai buvo ávertinti statistiniais metodais.

Koreliacinė analizė buvo panaudota tiriant tą parametrą tarpusavio ryðius, iðryðkintos jø asociacijos ir bûdingi parametrai.

Faktorine analize buvo ávertinta statistinių charakteristikų struktūra bei nustatyti sudėties kaità lemiantys veiksniai, taip pat pagal artimus poþymius sugrupuotos nuosëdos.

Dispersinės analizës metodu buvo apskaièiuojamos kiekvieno genetinio potipio granuliometrinio pasiskirstymo statistikos parametrai, arba kintamøjø, vidurkinës reikðmës, apskaièiuojamas jø 95% patikimumo intervalas ir iðskirti reikðmingai besiskirià nuosëdø pogrupiai. Be to, rezultatai buvo pateikti grafikai. Grafikø vertikalioje aðyje atidëtos parametrai reikðmës. Ant genetiniø 95% patikimumo kintamojo tiesiø þenklu – paþymëta kintamojo vidurkinës reikðmë, þenklas --- rodo vidutinæ genetiniø potipio kintamojo reikðmæ.

Nuosëdø genetinø potipio santrumpø reikðmës: gl – ledyninës, os – ozø, cmm – miðriø keimø, cmlg – limnoglacialiniø keimø, gt – kraðtiniø gûbriø, fd – fliuvioglacialiniø deltoø, ftr – fliuvioglacialiniø terasø, sd – zandrø, lgl – limnoglacialinës, al – aliuvinës, m – jûrinës, va – eolinës ið perpustyto aliuviniø, vm – eolinës ið perpustyto jûriniø, vf – eolinës ið perpustyto fliuvioglacialo, vlg – eolinës ið perpustyto limnoglacialo, al – tarpledynmečio aliuvio nuosëdos.

Klasterine analize iðskirtos panaðio ir skirtingo grupio nuosëdos.

Statistinëms charakteristikoms nustatyti panaudoti STATISTICA (Versija 5.0) ir SPSS for Windows (Versija 8.0.0) programø paketai.

### Kvartero nuogulų granuliometrinės sudėties rodikliai ir veiksniai, lemiantys grûdelio pasiskirstymo savybes

Siekiant nustatyti nuogulų granuliometrinės sudėties rodiklio vaidmená grûdelio pasiskirstyme, koreliaciene ir faktorine analizëmis buvo ávertinti pasiskirstymo kreiviø granuliometriniai statistikos rodikliai. Ávertinimui panaudoti devyni pagrindiniai statistikos parametrai: vidurkinis grûdelio dydis (X), medianinis dydis (Md), maksimalus grûdelio dydis – 99% ( $C_{max}$ ), minimalus grûdelio dydis – 1% ( $C_{min}$ ), 0,04–0,05 mm frakcijos kiekis (F45), asimetrija (A), ekscesas (E), santykinë entropija ( $H_r$ ) ir variacijos koeficientas (V).

Đio parametrø koreliacinë analizë parodë teigiamà koreliacijà tarp grûdelio dydþius nusakanèiø parametru: X, Md,  $C_{max}$ ,  $C_{min}$ . Jø ryðys su V neigiamas, t. y. didëjant pirmiesiems, V maþëja. Pastaras turi teigiamà ryðà su 0,04–0,05 mm frakcijos kiekiu, o tai reiðkia, kad parametru V turi átakos smulkia-dispersinës frakcijos ir kad tie parametrai gali bûti keièiami vienas kitu. Kitas iðrûðiavimo laipsnio koeficientas  $H_r$  turi teigiamà ryðà su  $C_{max}$  ir kiek maþesnà su  $C_{min}$ . Tai natûralu, nes iðrûðiavimo koeficiente dydis priklauso nuo kraðtiniø frakcijø reikðmiø.  $H_r$  didþiausio teigiamo tarpusavio ryšio su  $C_{max}$  buvimas rodo kiek didesnà stambesniø frakcijø poþeiká  $H_r$  dydþiui bei tai, kad já ávairose diagramose galima keisti á  $C_{max}$ , kaip tai daro R. Passegas (1957), R. Passegas ir R. Byramje (1963).  $H_r$  turi ir neigiamà ryðà su ekscesu, nes, platëjant pasiskirstymo kreiviø arba esant didesniams daleliø kiekiui kraðtutinëse frakcijose, kreivë tampa bukesnë. Taip pat  $H_r$  turi teigiamà ryðà su V. Pastaras turi neigiamus ryðius su grûdelio dydþiais, tai yra grûdelio dydþiams ir frakcijø spektrams platëjant, jis maþëja. Visa tai rodo, kad iðrûðiavimo laipsniui apibûdinti geriau tinkta  $H_r$ .

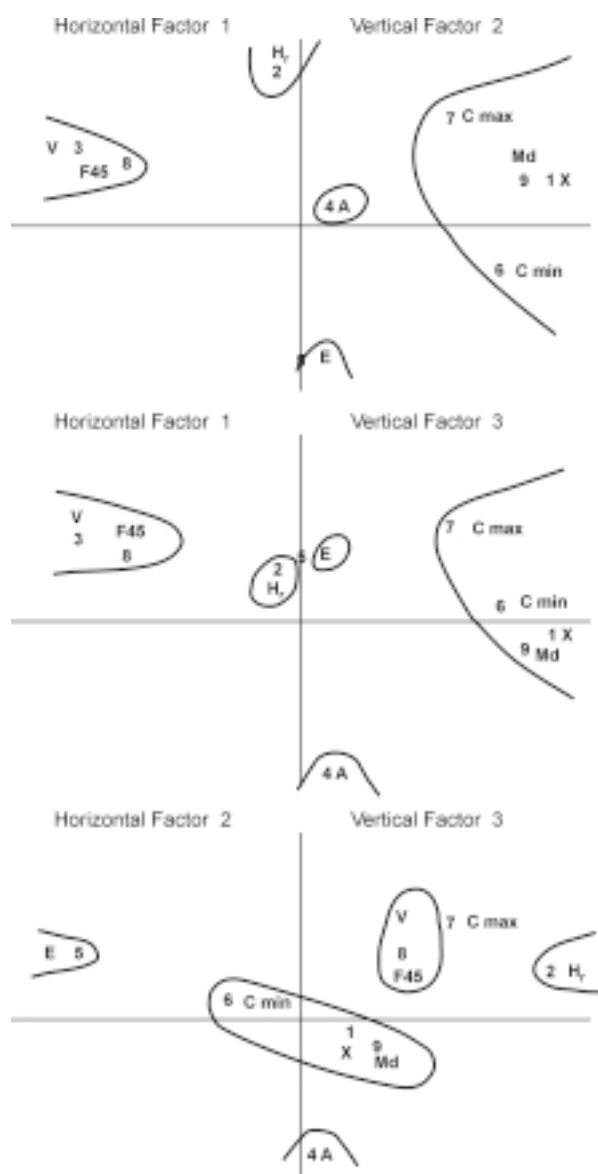
Kadangi grûdelio dydþiai turi teigiamus tarpusavio ryðius arba synchroninà kintamøjø kitimà, tai dydþius nusakyti galima viena ið tò reikðmiø. Sudarant dvi-komponentes diagramas ypað reikëtø atkreipti dëmesiá koreliacinius statistikos parametru ryðius. Geriausia naudoti komponentus su silpnesniais ryðiais.

Koreliacinë analizë iðryðkino ðias statistiniø komponentø asociacijas: 1) X, Md,  $C_{max}$ ,  $C_{min}$  2)  $H_r$ , 3) V, F45, 4) A, 5) E. Norint nustatyti granuliometrinius statistikos parametrus, jø grupio ánaðà á granuliometrinio kvartero nuogulų spektro formavimàsi, tai-kyta faktorinë analizë. Ji atskleidë, kad granuliometrinio spektro susiformavimà nulemia trys veiksniai.

Veiksnys	Indeksas	Kintamieji su teigiamomis reikðmëmis	Kintamieji su neigiamomis reikðmëmis
Dydis	$F_1$	$X, Md, C_{min}, C_{max}$	$V, F45$
Iðrûðiavimo laipsnis	$F_2$	$H_r, C_{max}$	$E$
Kraðtinës frakcijos	$F_3$	$C_{max}, C_{min}, F45$	$A$

Pirmo veiksnio svoris yra 33,9%, antrojo – 26,3%, o treèiojo – 13,5%.

Pagrindinis veiksnys ( $F_1$ ), nulemiantis genetiniø potipiø granuliometrinio spektrø susiformavimà, yra grûdelio dydá nusakantys kintamieji. Vykstant mechaninei nuosëdø diferenciacijai, priklausomai nuo dinaminio srauto intensyvumo jie kinta labiausiai.

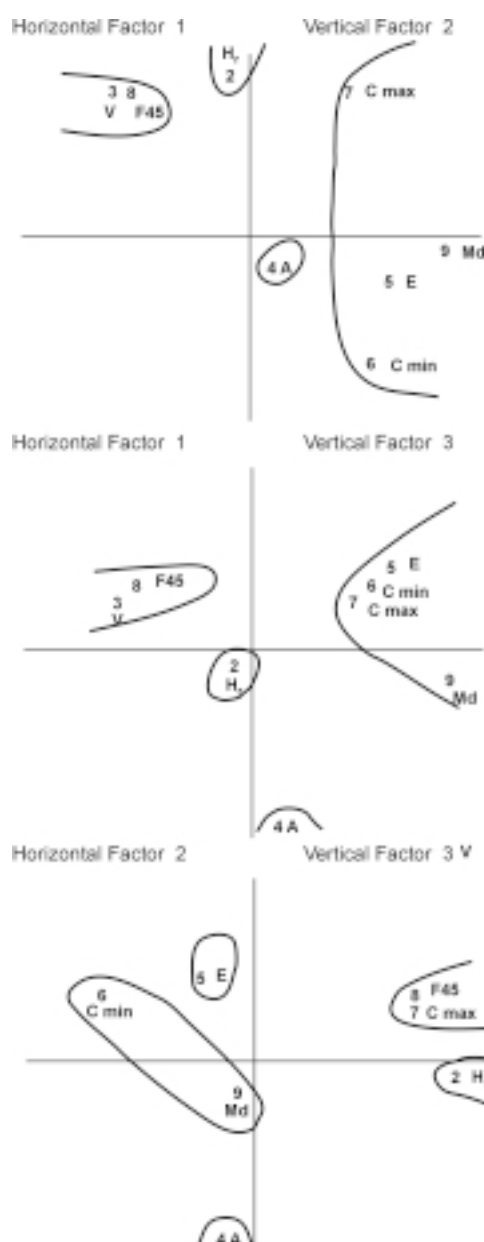


2 pav. Statistikos parametru pasiskirstymas veiksnio reikðmiø koordinaðiø sistemoje

Fig. 2. Statistical distribution of parameters in the coordinate system of factor values

Kintamieji V, F45 su neigiamais þenklais rodo, kad jie maþëja didëjant X, Md,  $C_{min}$ ,  $C_{max}$  reikðmëms.

Iðrûðiavimo laipsnio veiksnys yra antrasis, formuojantis nuosëdas ir nusakantis jø buvimo trukmæ tam tikroje hidrodinaminëje aplinkoje. Su neigamu þenklu á já áeina ir ekscesas, kuriam maþëjant  $H_r$  ir  $C_{max}$  reikðmës didëja.



3 pav. Statistikos parametru pagal genetiniø potipiø vidurkines reikðmes pasiskirstymas veiksnio reikðmiø koordinaðiø sistemoje

Fig. 3. Statistical distribution of parameters according to the mean of genetic subtypes in the coordinate system of factor values

Trečias yra kraštiniø dydžio veiksnys. Jä sudaro  $C_{max}$ ,  $C_{min}$ , F45 kintamieji su neigiamomis reikðmëmis ir asimetrija su neigama reikðme.

Đio veiksnio kintamøjø susigrupavimà, jø struktûrâ, reikðmes ir artimumà vienas kitam geriausiai atskleidþia kintamøjø iðsidëstymas veiksnio reikðmio koordinatinëje sistemoje (2 pav.).

Statistikos parametru vaidmuo, nustatant kvartero nuogulø granuliometrinio spektro savybes, buvo papildomai tikslintas naudojant kiek modifikuotà tå patâ duomenø masyvà – genetiniø potipiø kintamøjø vidurkines reikðmes. Faktorine analize nustatytas tokis statistikos parametru ánaðas á genetiniø grupiø struktûrø formavimà: X – 49,5, H<sub>r</sub> – 24,2, V – 15,4, A – 6,6, E – 1,9, C<sub>min</sub> – 1,4, C<sub>max</sub> – 0,8, F45 – 0,3, Md – 0,1%. Đio veiksnio kintamøjø susigrupavimas veiksnio reikðmio koordinatinëje sistemoje parodytas 3 paveiksle.

### Struktûrinës genetiniø potipiø grupës pagal atskirus kintamuosius

Siekiant iðaiðkinti genetiniø potipiø ypatybes, patikslinti kintamøjø genetiná informatyvumà bei litologinius granuliometrinius kriterijus ledynmeeiø ir tarp-ledynmeeiø sàlygoms detalizuoti, dispersine analize buvo iðtirti visø rajonø genetiniø tipø ir potipiø parametrai, arba kintamieji, ir pagal tai nustatytose vienarûðes genetinës grupës.

**Grûdelio pasiskirstymo aritmetiná vidurká (X)** nulemia du veiksniai – sedimentacinië aplinkos savybës ir transportuojamos medþiagos pirminiai dydžiai. Kaip rodo hidrologiniai eksperimentai, X kaita daugiausia susijusi su srauto tekëjimo greièio pokyčiais.

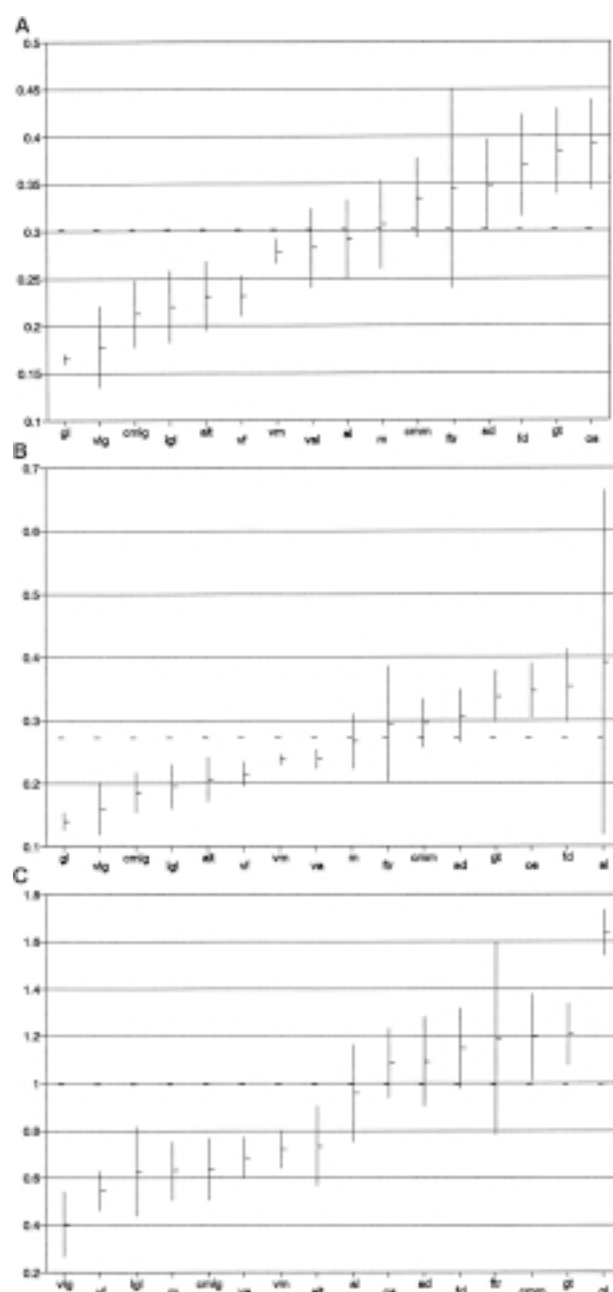
Tirtø kvartero nuogulø X pasiskirstymo reikðmës yra nuo 0,1599 iki 0,4509 mm. Pagal tuos duomenis reikðmingai ( $> 0,05$ ) besiskiria dvi grupës: ledyninë (gl), kuri skiriasi nuo ozø (os), fliuvioglacialiniø delta (fd), kraðtiniø, arba marginaliniø, gûbriø (gt), ir eolinë ið perpustyto limnoglacialo (vlg), kuri skiriasi nuo ozø ir kraðtiniø gûbriø. Taigi reikðmingai yra atskirtos genetinës grupës su minimaliomis ir maksimaliomis reikðmëmis, bet tai netikslu, nes ledyninës nuogulos skiriasi nuo visø, iðskyrus vlg.

Iš pateikto duomenø grafinio vaizdo matyti (4 pav., A), kad galima iðskirti dvi grupes: os, gt, fd, ftr, sd, cmm ir gl, vlg, cmlg, lgl, alt, vf, taip pat tarpinæ grupæ vm, va, al, m, vm. Nors vidurinës grupës X 95% patikimumo intervalai ðiek tiek dengia abi grupes, taèiau vidurkinës reikðmës pakankamai skiriasi nuo kitø dviejø. Atlikta analizë leidþia padaryti iðvadà, kad turint neaiðkios genezës palaidotø nuogulø pavyzdþio vidutines X reikðmes, galima nustatyti jø priklausomybë genetinei grupei. Grafikas rodo logiðkà X, o kartu ir srauto greièio maþejimà

sedimentacijos metu nuo os link gt, fd, ftr, sd, cmm, m, al, va, vm, vf, alt, lgl, cmlg, vlg.

**Medianinis (Md) pasiskirstymas** yra artimas X. Tirtø nuogulø Md pasiskirstymo reikðmës yra nuo 0,125 iki 0,89 mm. Grafinis duomenø vaizdas (4 pav., B) artimas X duomenims. Iðryðkëja trys nuosëdø grupës, labiau besiskirianëios vidurkinëmis reikðmëmis.

**Maksimali pasiskirstymo reikðmë (C<sub>max</sub>)**, arba 99% kiekio parametras, iðpopuliarëjo po to, kai R. Passegas (1957, 1968) sudarë C<sub>max</sub> – Md dinamines diagramas. Dis rodiklis ypaè svarbus aiðkinantis paleobaseinø sedimentacijà, nes suteikia informacijos apie prineðimo ðaltinio nuotolá, medþiagos atne-



4 pav. A – X, B – Md, C – C<sub>max</sub> pasiskirstymai  
Fig. 4. A – X, B – Md, C – C<sub>max</sub> distributions

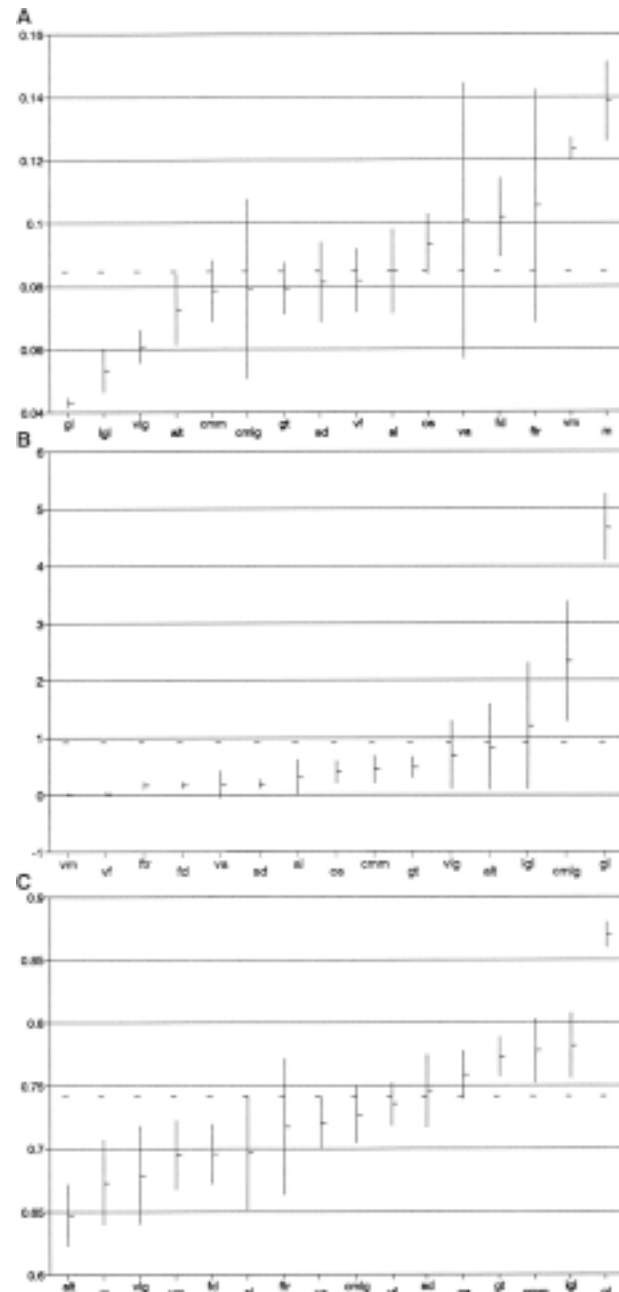
ðimo kelius. Kvartero nuogulø  $C_{max}$  parametras taip pat rodo stambesnës medþiagos artumà ir paleodinaminës aplinkos aktyvumà. Tirtø nuogulø  $C_{max}$  95% patikimumo intervalo pasiskirstymo reikðmës yra nuo 0,011 iki 1,731 mm. Pagal ðiuos duomenis reikðmingai besiskiria dvi grupës: gl skiriði nuo vlg, vf, lgl, m, cmlg, va, m, alt ir vlg skiriði nuo os, sd, fd, ftr, cmm, gt. Duomenø grafinis vaizdas (4 pav., C) nurodo panaðias grupes. Ryðkiai iðsiskiria ledyniniø nuogulø maksimali reikðmë. Po to eina tekanèio vandenø – al, os, sd, fd, ftr, cmm, gt ir eoliniø, upiniø bei jûriniø nuosëdø grupë – vlg, vf, lgl, m, cmlg, va, vm, alt.

**Minimali pasiskirstymo reikðmë ( $C_{min}$ )**, arba 1% kiekio parametras, taip pat rodo sedimentacijos aplinkos hidrodinaminá aktyvumà. Tirtø nuosëdø 95% patikimumo intervalas svyruoja nuo 0,041 iki 0,153 mm. Reikðmingai besiskirianèios grupës yra m nuo gl, lgl, vlg, alt ir vm nuo gl, lgl. Duomenø grafinis vaizdas (5 pav., A) rodo maþiausia reikðmæ turintá gl. Kita grupë yra lgl, vlg, treèia – alt, cmlg, cmm, gt, sd, vf, al, os ir ketvirta – va, fd, vf, penkta – vm, m. Taigi pagal  $C_{min}$  parametrà galima atskirti vm, m, lg, vlg, cmlg nuo likusiøjø.

**0,04–0,05 mm frakcijos kiekio (F45) parametras** panaudotas todël, kad literatûroje kartais nurodomas kaip diagnostinis poþymis, apibûdinantis sedimentacinës aplinkos judrumà. Tirtø kvartero nuogulø 95% patikimumo intervalo pasiskirstymo reikðmës yra nuo 0,09 iki 5,248 mm. Reikðmingai nuo visø kitø iðsiskiria ledyninë grupë ir cmlg skiriði nuo m, vm, vf, ftr, fd, va, sd, al. Duomenø grafinis vaizdas (5 pav., B) rodo, kad pagal F45 reikðmes ypaè gerai nuo kitø atskiria gl.

**Santykinës entropijos ( $H_r$ ) dydis atspindi empirinio pasiskirstymo kreivës (EPK) platumà, arba nuosëdø iðrûðiavimo laipsná. Parametro dydis priklauso nuo polidispersinës medþiagos patekimo á sedimentacine aplinkà ir parodo ne tiek srauto greitá, kiek jo turbulentiðkumà. Didþiausias  $H_r$  reikðmes tarp þemyniniø nuogulø turi masinio transportavimo nuosëdos. Tirtø kvartero nuogulø 95% patikimumo intervalo pasiskirstymo reikðmës siekia nuo 0,64 iki 0,88 mm. Pagal jas reikðmingai skiriði gl nuo alt, m, vlg, vm, al, fd, ftr, va, cmlg, vf, sd, os ir, nors nenurodyta, ið tiesø ryðkiai skiriði nuo gt, cmm, lg. Taip pat reikðmingai skiriði lgl nuo alt, m, vlg bei cmm nuo alt, m ir alt nuo os, gt, lgl, gl.**

Pateiktas grafinis duomenø vaizdas (5 pav., C) leidþia patikslinti reikðmingus skirtumus. Ið jo matyti, kad  $<0,75$  turi visos antrà kartà performuotos nuosëdos – alt, m, vlg, vm, al, va, vf bei prieledyninës fd, ftr ir cmlg. Ftr potipio apie 17% pavyzdþiø turi  $>0,75H_r$  reikðmæ, didesnæ reikðmæ turi apie 37% zandro pavyzdþiø.



5 pav. A –  $C_{min}$ , B – F45, C –  $H_r$  pasiskirstymai  
Fig. 5. A –  $C_{min}$ , B – F45, C –  $H_r$  distributions

Á prieledyninæ grupæ patenka ir limnoglacialiniø keimø (cmlg) nuosëdos. Jø genezæ reikia patikslinti pagal kitus statistikos parametrus. Vidinio ledo arba arti medþiagos iðneðimo ðaltiniø esanèio limnoglacialiniø nuogulø X yra  $>0,1$  mm,  $C_{max}$  – 0,5–0,6 mm, o  $H_r$  – 0,7. Tuo tarpu paëiø limnoglacialiniø (ir eþeriniø) nuosëdø parametrai tokie: X – 0,04–0,1 mm,  $H_r$  – 0,21–0,60,  $C_{max}$  – 0,1–0,2 mm, reèiau 0,3–0,4 mm (Малинаускас, 1981). Straipsnyje pateikiami vlg, lgl nuosëdø parametrai nëra tipiðko limnoglacialiniø nuosëdø, o tekanèio srautø, tiksliau delø, parametrai.

Vidinio ledo nuosėdø  $H_r$  reikðmë yra  $>0,75$ . Tai – cmm, gt, os nuosédos. Iðanalizavus genetiniø potipiø  $H_r$  reikðmes galima padaryti iðvadà, kad pagal ribine  $0,75$  reikðmæ atskiriamos gl, antrà kartà performuotas, prieledyninës ir vidinio ledo nuogulos. Tik ftr, gal dël maþo (13) pavyzdþio skaiëiaus, ir sd reikðmës yra kiek didesnës uþ ðia ribà. Gali bûti, kad sd didesnes  $H_r$  reikðmes nulëmë tai, kad nuogulos ið per plataus regiono, be to, dalis pavyzdþio ið marginaliniø aukðtumø laikytini vidinio ledo nuogulomis.

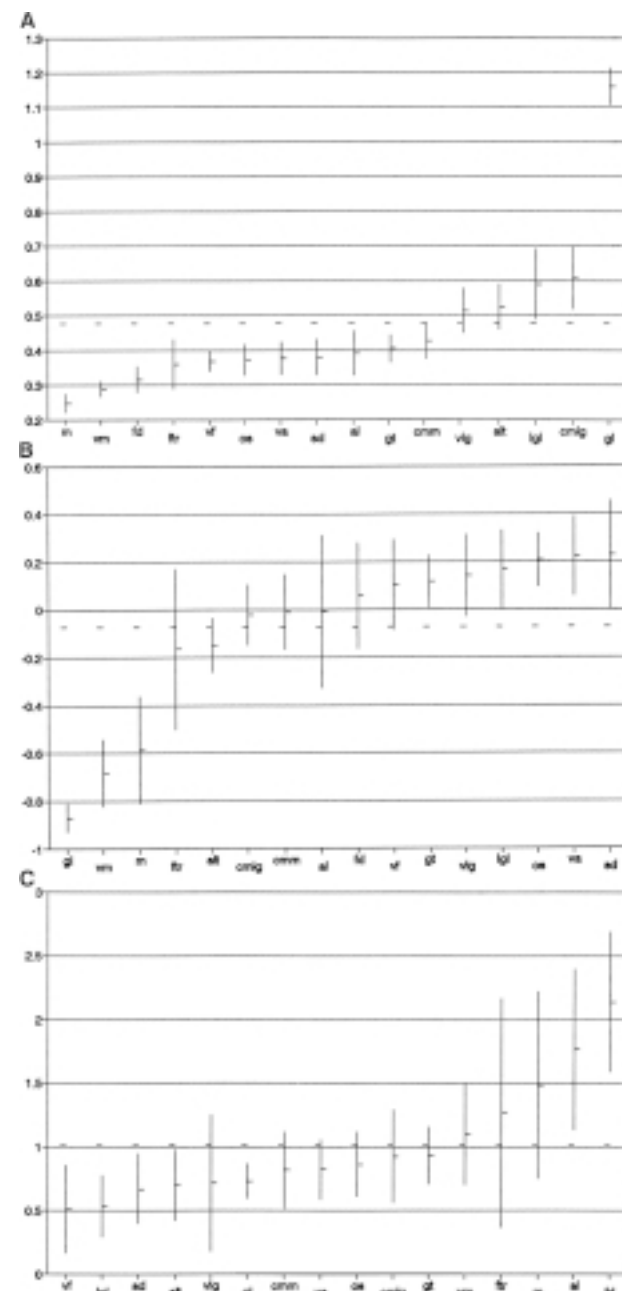
Iðanalizavus genetiniø potipiø santykinës entropijos reikðmes, galima padaryti iðvadà, kad G. Juozapavièiaus ir kitø (1989) abejonës dël  $H_r$  kokios nors reikðmës buvimo, pagal kuria bûtø galima atskirti prieledynines ir vidinio ledo nuogulas, yra abejotinos.

**Variacijos koeficientas (V)** taip pat apibûdina nuosédø iðrûðiavimo laipsná. Tirtø nuosédø V reikðmës yra nuo  $0,268$  iki  $1,214$ . Reikðmingai skiriði gl bei vlg, lgl, cmlg ir m nuo kitø. Taigi pagal V reikðmes galime atskirti baseinines ir ledynines nuogulas nuo dinaminiu bûdu susiformavusiø nuosédø (6 pav., A).

**Asimetrija (A)** nusako EPK kreivumà, kuris priklauso nuo daleliø transporto pobûdþio ir sedimentacijos sâlygø. Tirtø nuogulø 95% patikimumo intervalo reikðmës yra nuo  $0,929$  iki  $0,388$  mm. Reikðmingai nuo kitø skiriði gl bei vm ir m nuo kitø genetiniø potipiø. Duomenø grafinis vaizdas (6 pav., B) rodo panašià situacijà. Kadangi gl nuo vm ir m galima atskirti remiantis kitais statistiniais parametrais, tai A reikðmë leidþia puikiai iðskirti jûrines nuogulas ið antrà kartà performuotø nuosédø.

**Ekscesas (E)** rodo EPK virðünës lékðtumà ir yra sunkiai geologîkai interpretuojamës dydis. Tirtø nuogulø 95% patikimumo reikðmës yra nuo  $0,167$  iki  $2,688$  mm. Maþas reikðmingai besiskirianèiø grupiø skaiëius (fd nuo vf, lgl) patvirtina menkà ðio parametro diagnostinà informatyvumà. Ið grafinio vaizdo matyti, kad fd turi daug didesnæ vidurkinæ reikðmæ uþ kitas nuogulas (6 pav., C).

Iðanalizavus kvartero nuosédø granuliometrinës sudëties empiriniø pasiskirstymo kreiviø statistikos rodiklius, galima teigti, kad granuliometriniai statistikos parametrai yra informatyvûs nustant genetinæ aplinkâ. Visø pirma pagal  $H_r$  reikðmes gerai iðsiskiria: 1) gl ( $H_r > 0,85$ ), 2) vidinio ledo – cmm, gt, os ( $H_r > 0,75$ ) ir 3) antrinio performavimo – m, vm, va, vlg, al, alt bei prieledyninës fliuvioglacialinës – fd, ftr, sd ( $H_r < 0,75$ ) nuogulos. Tik ftr (ið viso 13 pavyzdþio) ir zandrø nuogulø  $H_r$  reikðmës diek tiek perþengia  $0,75$  ribà. Todël reikalingi papildomi tyrimai, kurie patikslintø sd  $H_r$  reikðmiø priklausomybæ nuo ledyno kraðto etaloniniuose plotuose. Zandro priklausomybæ ðiam tipui galima papildomai patiks-



6 pav. A – V, B – A, C – E pasiskirstymai  
Fig. 6. A – V, B – A, C – E distributions

linti pagal vidurkines X, Md, ypaè C<sub>max</sub>, C<sub>min</sub> reikðmes, kurios yra artimos al, fd, ftr. Todël pageidautina, nustatinéjant palaidotø nuosédø genezæ, pirmiausiai pjûvá suskaidyti pagal artimus statistikos parametrus ir papildomai apskaiëiuoti parametrø vidurkius. Ið treèios grupës lengvai iðskiriamos m, vm pagal neigiamà A  $< -0,5$  reikðmæ. Ekscesas gali padëti identifikuojant fd nuogulas. Tikslinant neþinomà genezæ, nuosédø kilmæ, galima naudoti ir kitø parametrø reikðmes.

Pateiktos EPK statistikos parametrø lentelës ir 95% patikimumo intervalø reikðmiø grafikai laikyti-

ni etaloniniais nustatant nepinomos genezës palaidotø nuosëdø kilmæ.

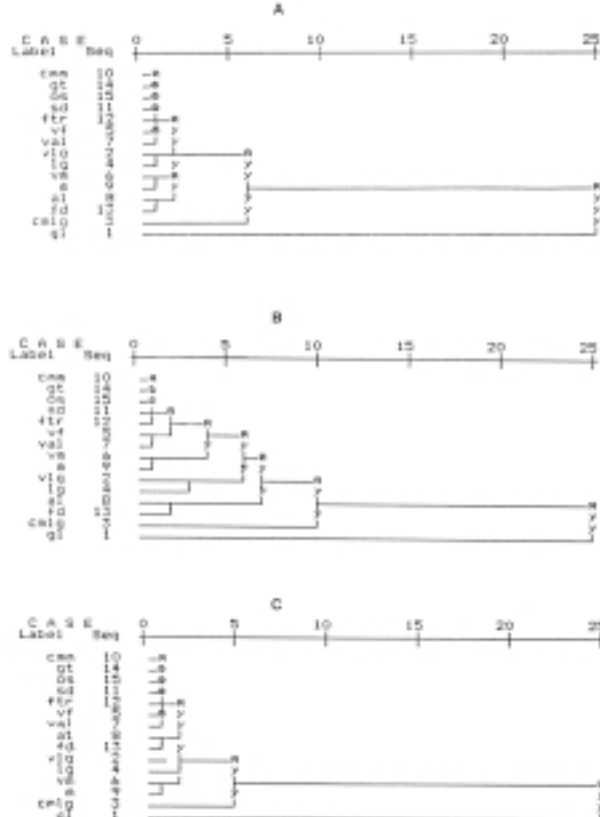
### Genetinës grupës pagal kintamøjø visumà

Siekiant kompleksiðkiau ávertinti analizuojamø kvartero nuosëdø bendrybes ir skirtumus, papildomai atlikta visø duomenø klasterinë analizë septyniais metodais bei genetiniø potipiø statistikos parametru vidurkiø faktorinë analizë.

Klasterinës analizës tikslas – ið 15 ar 16 genetiniø potipiø iðskirti vienarûðes grupes, kuriø nuosëdos yra panaðios, ir nevienarûðes atskiras grupes, kurias galima traktuoti kaip kokybiðkai skirtingas. Analizës rezultatai pateikti jas vizualizuojant struktûriui bûdu.

Tarpgrupiniu vidurkiniu metodu ið 15 genetiniø potipiø (be alt) iðskirtos ðios genetinës grupës (7 pav., A): 1) cmm, gt, os, sd, ftr, vf, va, 2) vm, m, al, fd, 3) vlg, gl, 4) cmlg, 5) gl.

Pagal vidurkinâ (grupës viduje) metodà iðskirtos ðios genetinës grupës (7 pav., B): 1) cmm, gt, os, sd, ftr, 2) vf, val, 3) vm, m, 4) vlg, lgl, 5) al, fd, 6) cmlg, 7) gl.



7 pav. Nuosëdø gentiniø potipiø grupës pagal klasterinës analizës ávairius metodus (A – tarpgrupinâ, B – vidurkinâ (grupës viduje), C – paprastà vidurkinâ)

Fig. 7. Groups of sedimentary genetic subtypes according to various methods of cluster analysis (A – between-group linkage, B – within-group linkage, C – simple average linkage)

Paprastas vidurkinis metodas padëjo iðskirti tokias grupes (7 pav., C): 1) cmm, gt, os, sd, ftr, 2) vf, va, 3) al, fd, lgl, 4) vm, m, 5) vlg, cmlg, 6) gl.

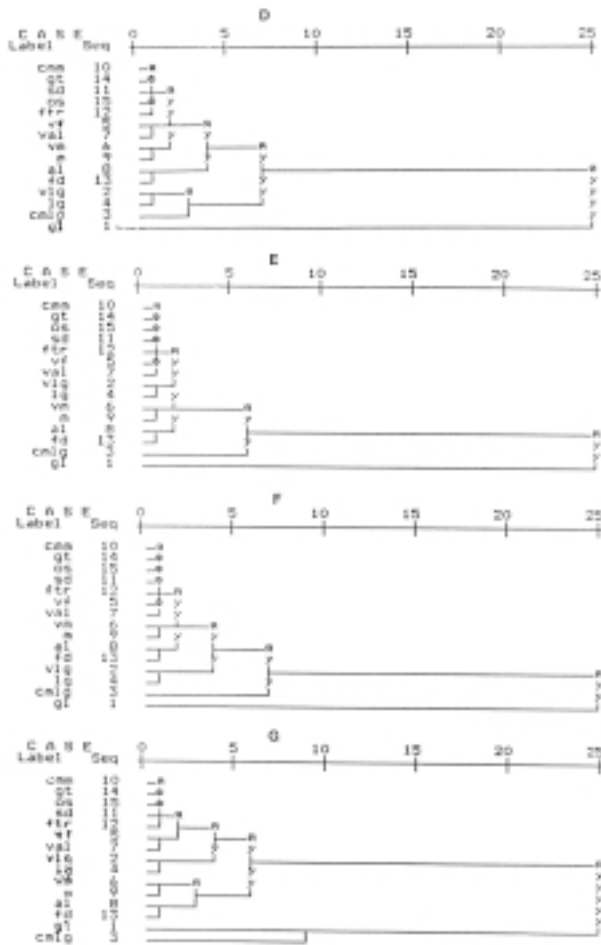
Visaverèio ryðio metodu iðskirtos ðios grupës (8 pav., D): 1) cmm, gt, os, sd, ftr, 2) vf, va, vm, m, al, fd, 3) vlg, lgl, 4) cmlg, 5) gl.

Centroidiniu metodu (8 pav., E) iðskirtos tokios genetiniø potipiø grupës: 1) cmm, gt, os, sd, ftr, va, vf, 2) vlg, lgl, al, fd, 3) vm, m, cmlg, 4) gl.

Medianiniu metodu iðskirtos ðios skirtingos genetinës grupës (8 pav., F): 1) cmm, gt, os, sd, ftr, vf, va, 2) al, fd, 3) vm, m, vlg, lgl, 4) cmlg, 5) gl.

Pagal Wardo metodà nustatytois tokios grupës (8 pav., G): 1) cmm, gt, os, sd, ftr, 2) vf, va, 3) vlg, lgl, 4) vm, m, al, fd, 4) cmlg, 5) gl.

Iðanalizavus klasterinës analizës duomenis galima padaryti iðvadà, kad ji visø pirma iðskyre cmm, gt, os (vidinio ledo), sd, ftr (prieledyninës kilmës) prie jo prijungdama vf, va. Taigi klasterinë analizë



8 pav. Nuosëdø gentiniø potipiø grupës pagal klasterinës analizës ávairius metodus (D – viso ryðio, E – centroidinâ, F – medianinâ, G – Wardo)

Fig. 8. Groups of sedimentary genetic subtypes according to various methods of cluster analysis (D – complete linkage, E – centroid linkage, F – median linkage, G – Ward's linkage)

atskleidė sd ir ftr atskyrimo nuo vidinio ledo nuosėdø problemiökumà. Kitos grupës yra prieledyniø ir antrà kartà performuotø nuosédø: 2) ftr, vm, m, 3) al, fd, lgl ar al, fd. Gerai iðskirkia cmlg ir gl nuosédos. Tai, kad lgl pakliûva á al, fd ar vm, m, fd grupæ rodo, kad limnoglacialiniø nuogulø etalonas yra netipiðkas ir netiksliai identikuotas.

Klasterinë analizë taip pat buvo atlikta 16 genetiniø potipiø naudojant tik X,  $C_{max}$ ,  $H_r$ , A ir E kintamøjø reikðmes. Gerai iðskyrë: 1) gl, 2) cmlg, 3) al, fd, 4) vlg, lgl, alt, bet visada prie cmm, gt, os, sd, ftr priskirtos vf, va. Kai kuriais metodais iðskirtos tik trys grupës nuosédø: 1) gl, 2) cmlg, 3) visi likusieji. Tai rodo, kad vykdant klasterinæ analizæ tiks lingiau panaudoti daugiau kintamøjø.

Vienarûðes grupës iðskirtos ir faktorine analize naudojant genetiniø gruþiø kintamøjø vidurkines reikðmes. Faktorinë analizë atlikta dviem bûdais: R ir Q metodais.

R metodu atikta genetiniø gruþiø koreliaciją iðskyrë tik du veiksnius. Pirmà sudarë genetinës grupës, turinèios didesnæ X reikðmæ, o kità – su maþesne X reikðme (cmlg, gl, lg, vlg, alt). Veiksnio koordinaðiø sistemoje tik tos dvi grupës ir iðskyrë.

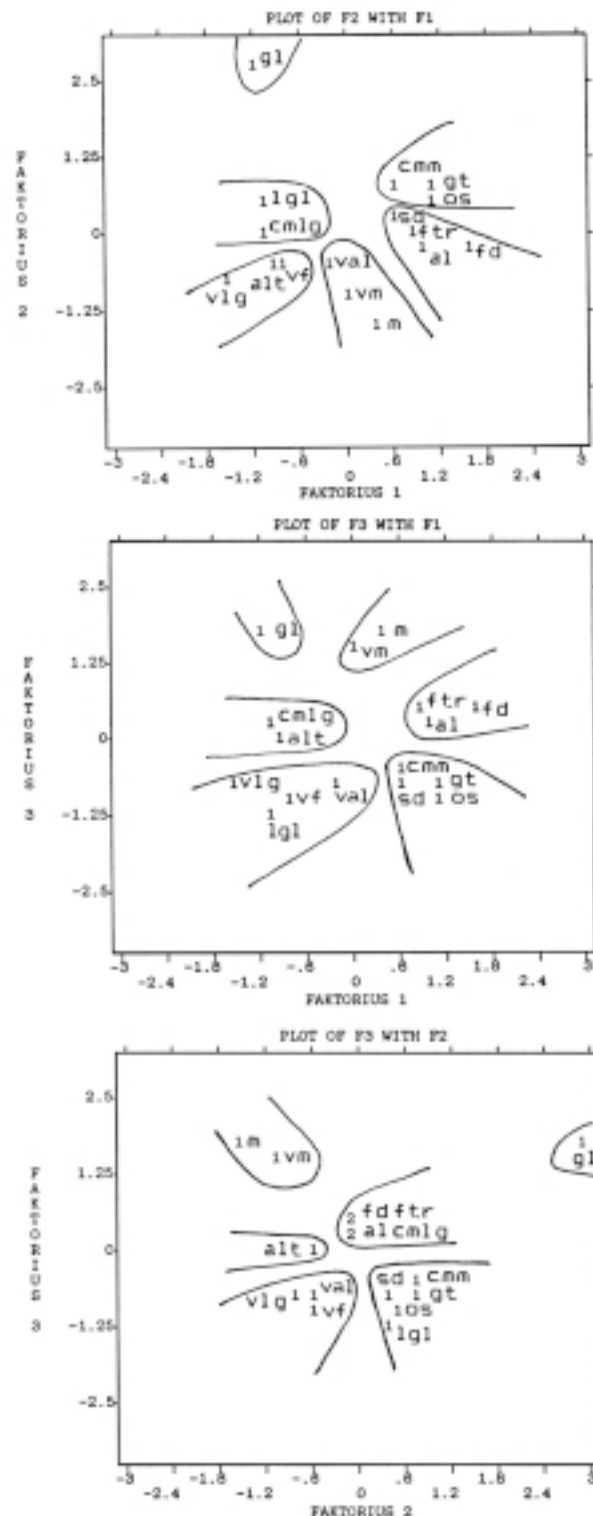
Faktorinës analizës Q metodas daug realiau iðskyrë veiksnius:

Veiksnys	Teigiami kintamieji	Neigiami kintamieji
$F_1$	fd, os, gtr, vl, ftr, cmm, sd	vlg, lgl, gl, cmlg, alt
$F_2$	gl, cm, os	m, vm, vlg, alt
$F_3$	gl, m, vm	os, lgl, gt, sd, va

Pirmà veiksná sudaro abu veiksniai, iðskirti Q metodu, tik èia jie su skirtingais þenklais.  $F_2$  ir  $F_3$  sudaro nuosédø kombinacijos, turinèios didþiausias ir maþiausias X reikðmes.

Genetiniø gruþiø iðsidëstymas veiksnio koordinaðiø sistemoje (9 pav.) iðskyrë ðias grupës: 1) gl, 2) cmlg, lg, 3) vlg, vf, alt, 4) va, vm, m, 5) al, fd, ftr, 6) cmm, gt, os, sd.

Ávertinus klasterinæ ir faktorinæ analizes, iðskyrë ðios genetinës grupës: 1) gl, 2) cmlg, 3) vlg, vf, alt, lgl, va, 4) vm, m, 5) ftr, fd, al, 6) cmm, gt, os, sd. Taigi kvartero nuosédø granuliometrinëje sudëtyje uþfiksuota paleogeografinë informacija leidþia iðskirti ledynines, vidinio ledo, prieledynines, jûrines nuosédas. Prie vidinio ledo nuosédø sd atsidûrë dël to, kad sd pavyzdþiai ið marginalinø aukðtumø faktiðkai priklauso vidinio ledo genetinio tipo nuosédoms. Tà patvirtina ir  $H_r$  parametras reikðmës (tik dalis jø virðija 0,75 ribà).



9 pav. Genetiniø potipiø pasiskirstymas pagal veiksnio reikðmes

Fig. 9. Distribution of genetic subtypes according to the factor values

## ÍŠVADOS

Pirmà kartà statistiðkai iðnagrinëtas visø kvartero 16 genetiniø potipiø 744 pavyzdþiø granuliometrinë em-

piriniø pasiskirstymo kreiviø statistikos parametrø kompleksas. Iðskirtos ðios jø asociacijos: 1) X, Md, C<sub>max</sub>, C<sub>min</sub>, 2) H<sub>r</sub>, 3) V, F45, 4) A, 5) E. Pagrindinis veiksnys, nuðemias kvartero nuosëdø savybes, yra grûdelio dydis. Kiti veiksniai yra iðrûðiavimo laipsnis ir kraðtiniai pasiskirstymo frakcijø dydþiai.

Dispersine, klasterine ir faktorine analizëmis iðtirtø X, Md, C<sub>max</sub>, C<sub>min</sub>, F45, H<sub>r</sub>, V, A ir E parametrø specifika atskleidë didelá struktûrinio duomenø informatyvumà nustatant genezæ. Nustatyta, kad pagal atskirus kintamuosius ir ypaè H<sub>r</sub> reikðmæ (0,75) galima iðskirti ledynines (gl), vidinio ledo (os, cmm, gt, cmlg), prieledynines (fd, sd, ftr) ir antrinio performavimo nuogulas – aliuvinės, jûrines, eolines. Ið jø pagal A galima identifikuoti jûrines ir eolines jûrines, o pagal E – fd.

Kvartero nuosëdø vienarûðiø genetiniø potipio grupiø iðskyrimà patvirtino klasterinës ir faktorinës analizës, kurios iðskiria 6–7 vienarûðes grupes: 1) gl, 2) cmlg, 3) vl, vf, alt, val, lgl, 4) m, vm, 5) al, fd, ftr, 6) cm, gt, os, sd. Iðskiriant ávairius genetinius tipus, bûtina panaudoti tø nuogulø geologinius poþymius – bendrà pjûviø sandarà, o tarpledynmeèio (al, l) – organikos kieká faunos buvimà ir kità.

Gautos visø kvartero nuogulø 16 genetiniø potipio statistikos lentelës ir 95% patikimumo intervalai rekomenduotini kaip etaloniniai nustatant neðinomos genezës palaidotø nuogulø kilmæ.

Iðanalizavus visus struktûrinius duomenis ir jø statistikos parametrus pasiûlyta tokia palaidotø nuogulø genezës nustatymo metodika:

1. Nudumbliント pavyzdþiø turinys iðsijojamas pro 19 sietø komplektà, ir pagal tuos rezultatus, naudojant G. Røpkovo ir V. Kulikovo (1975) adaptuotà programà „Sietan“, apskaiëiuojami pasiskirstymø kreiviø statistikos parametrai.

2. Pagal statistikos parametrø dydþius geologinis pjûvis suskirstomas á reikðmingai besiskiranèius intervalus ir apskaiëiuojamos jø vidurkinës reikðmës.

3. Jos palyginamos su etaloninëmis 16 genetiniø potipio statistikos parametrø (ypaè H<sub>r</sub>, A, C<sub>max</sub> ir kitomis) reikðmëmis, 95% patikimumo diagramø intervalais ir pagal tai nustatoma genetinë priklausomybë.

4. Nustatant genetinius tipus taip pat bûtina naujotis nuogulø geologiniai poþymiai – bendra sandara, organikos, faunos buvimu ir kita.

## PADËKA

Autorius nuoðirdþiai dëkoja dr. G. Juozapavièiui uþ 595 pavyzdþiø duomenis ir dr. R. Zinkutei uþ atlikus statistinius apskaiëiavimus.

## Literatûra

Brodzikowski K., Van Loon A. J. 1991. Glacigenic sediments. Amsterdam. P. 674.

- Falk R. L. 1968. Petrology of sedimentary rocks. Austin, Texas, Hemphill's Bode Stone. P. 170.
- Leeder M. R. 1982. Sedimentology. London. P. 344.
- Malinauskas Z. 1979. Merkinës tarpledynmeèio nuogulø susidarymo sàlygos. *Geografinis metraštis*. **16**. 41–49.
- Malinauskas Z. 1994. Lietuvos kvartero nuogulø litologiniø kriterijø tikslinimas ledynmeèio ir tarpledynmeèio sàlygoms detalizuoti. Ataskaita. Vilnius. 103 p. *Lietuvos geologijos tarnybos fondai, Geologijos ir geografijos instituto biblioteka*.
- Passega R. 1957. Texture as characteristic of clastic deposition. *Bull. Am. Assoc. Petrol. Geol.* **41**(9).
- Passega R., Byramje R. 1969. Grain-size image of clastic deposits. *Sedimentology*. **13**(3–4). 233–252.
- Visher G. S. 1969. Grain size distribution and depositional process. *Journ. Sed. Petrology*. **39**. 1074–1106.
- Ðinkùnas P. 1994. Tarpmoreniniø nuogulø nuotrupinës medþiagos diferenciacija. *Gelmiø geologinio tyrimo, naudojimo ir apsaugos problemos Lietuvoje*. Vilnius. 42–44.
- Ðinkùnas P., Jurgaitis A. 1998. Glacigeninës sedimentacijos tyrimø litogenetiniai aspektai. *Geologija*. **23**. 99–105.
- Ðinkùnas P., Jurgaitis A. 1998. Ledyniniø nuogulø litologija ir sedimentacija. Vilnius. 71 p.
- Walker R. G. 1984. Facies models. Hamilton. Ontario. P. 317.
- Батурина В. П. 1947. Петрографический анализ геологического прошлого по теригенным компонентам. Москва. 338 с.
- Гайгалас А., Малинаускас З., Балтрунас В. 1974. Генетические типы отложений Литвы и палагеоморфологический анализ. Вильнюс. 61–65.
- Гайгалас А. Ярцев В. И. 1992. Методическая основа изучения четвертичных отложений. Вильнюс. 108 с.
- Малинаускас З. 1981. Генетическая интерпретация гранулометрического состава моренных и межморенных отложений плейстоцена Литвы. *Комплексное изучение опорных разрезов нижнего и среднего плейстоцена Европейской части СССР*. Москва. 100–104.
- Малинаускас З. 1981. К вопросу определения генезиса плейстоценовых отложений Литвы. *Достижения и исследования по геологии Литовской ССР*. Вильнюс. 31–32с.
- Малинаускас З. 1991. Строение и состав межморенных комплексов плейстоцена Литвы. Вильнюс. 128 с. Методы палеогеографических реконструкций. 1984. Ленинград. 286 с.
- Петтиджон Ф., Потер П., Сивер Р. 1976. Пески и песчаники. Москва. 535 с.
- Рединг Х. И и др. 1990. Обстановки осадконакопления и фации. Москва. 2. 381 с.
- Рейнек Г. Э., Сингх И. Б. 1981. Обстановки терригенного осадконакопления. Москва. 439 с.
- Романовский С. И. 1988. Физическая седиментология. Ленинград. 240 с.
- Романовский С. И. 1977. Седиментологические основы литологии. Ленинград. 408 с.
- Рожков Г. Ф., Куликов В. Д. 1975. Методика автоматической обработки результатов дробного ситового анализа. *Литолого-палеогеографические исследования при поисках неструктурных залежей углеводородов*. Ленинград. 94–126.
- Рухин Л. Б. 1969. Основы литологии. Ленинград. 703 с.

- Шанцер Е. В. 1966. Очерки учения о генетических типах континентальных осадочных образований. Москва. 239 с.
- Юозапавичюс Г. А., Микалаускас А., Юргайтис А. Седиментогенез флювиогляциальных отложений на территории Литовской ССР (2. Гранулометрическая, минералого-петрографическая и геохимическая дифференциация флювиогляциальных отложений). Тр. АН ЛитССР. Сер. Б 5(174), 152–161.
- Юозапавичюс Г. А., Юргайтис А. А., Малинаускас З. А. 1983. Литологические исследования закономерностей формирования четвертичных и эоловых отложений. Аллювий. Пермь. 59–68.
- Юозапавичюс Г. А., 1987. Дифференциация обломочного материала области скандинавского оледенения. Москва. 102 с.
- Юргайтис А. А. 1969. Генетические типы и литология песчано-гравийных отложений Литовской ССР. Вильнюс. 173 с.
- Юргайтис А. А., Микалаускас А. П., Юозапавичюс Г. А. 1982. Слоистые текстуры флювиогляциальных отложений Прибалтики. Вильнюс. 51 с.
- Юргайтис А. А. 1984. Литогенез флювиогляциальных отложений последнего оледенения. Москва. 184 с.

### Zigmas Malinauskas

#### **GENETIC TYPES AND SUBTYPES OF QUATERNARY DEPOSITS IN LITHUANIA: CHARACTERISTIC OF GRANULOMETRIC CONTENT**

##### **S u m m a r y**

Statistical parameters of the granulometric composition of 744 samples of Quaternary deposits from four geological-geographical regions Lithuania (marginal and island uplands, planes above carbonates and planes above thick Quaternary) were statistically explored using correlation, factorial, cluster, and disperse analysis.

The indices of granulometric content were identified. The factors that influence grain distribution as well as the characteristics of genetic subtypes and types according to certain variables and according to the whole complex of variables were also established.

It was found that the main factor influencing the characteristics of Quaternary deposits is grain size. Other im-

portant factors include sorting-out and border magnitudes of the distribution fractions.

The disperse analysis of separate variables showed that according to the value of  $H_r$  0.75 it is possible to separate glacial (gl), intraglacial (os, cmm, gt, cmlg), proglacial (fd, sd, ftr) deposits and deposits of the secondary formation (alluvian, marine, eolic). From these, according to the asymmetry (A) it is possible to identify marine deposits and eolian marine deposits according to (E) – fd excess.

The obtained statistical tables of all 16 subtypes of Quaternary deposits and their 95% reliability intervals (Tables 4–12) are recommended as a standard for determining the origin of buried deposits of unknown genesis.

### **Зигмас Малинаускас**

#### **ГЕНЕТИЧЕСКИЕ ТИПЫ И ПОДТИПЫ ЧЕТВЕРТИЧНЫХ ОТЛОЖЕНИЙ ЛИТВЫ: ХАРАКТЕРИСТИКА ГРАНУЛОМЕТРИЧЕСКОГО СОСТАВА**

##### **Р е з ю м е**

Статистические параметры гранулометрического состава 744 образцов из четырех геолого-географических районов Литвы были исследованы статистически-корреляционным, факторным, кластерным и дисперсионным анализами.

При исследовании были установлены статистические показатели гранулометрического состава и факторы, определяющие распределение зерен и свойства генетических подтипов и групп по отдельным переменным и их комплексу.

Установлено также, что основным фактором, определяющим свойства четвертичных отложений, является размер зерен, далее следуют сортировка и крайние значения распределений.

Дисперсионный анализ отдельных переменных показал, что по значению  $H_r < 0,75$  можно выделить ледниковые, внутриледниковые, приледниковые отложения и отложения вторичной переработки. Из них по асимметрии можно определить морские и эоловые, образовавшиеся из морских, по эксцессу – fd.

Полученные статистические данные и их 95%-ные интервалы достоверности 16 генетических типов и подтипов четвертичных отложений Литвы рекомендуются как эталонные для определения погребенных отложений неизвестного генезиса.